

FIG. 1

FIG. 2A

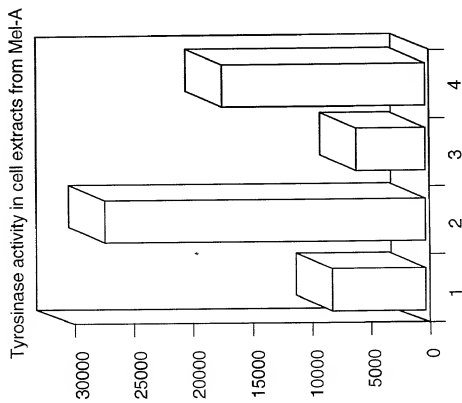


FIG. 2B

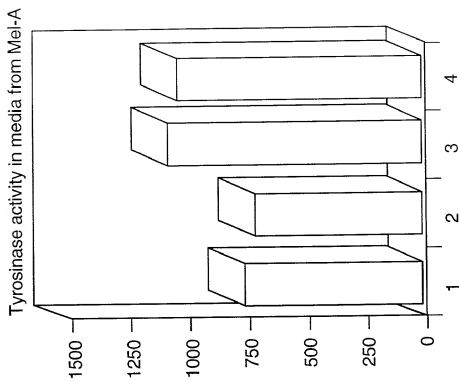
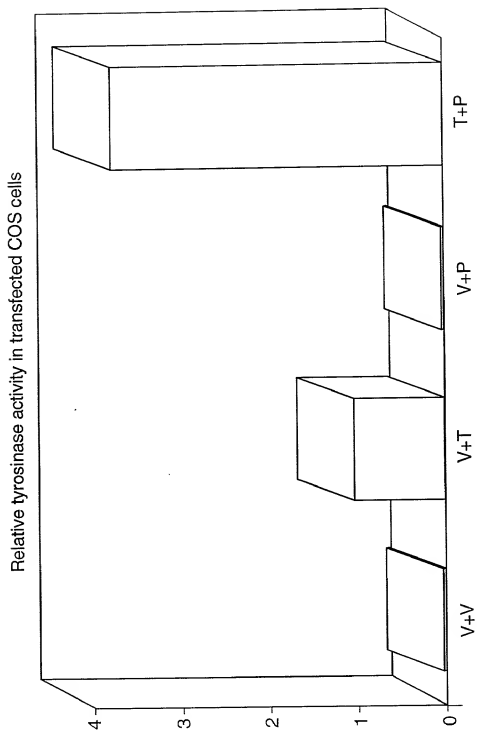


FIG. 3



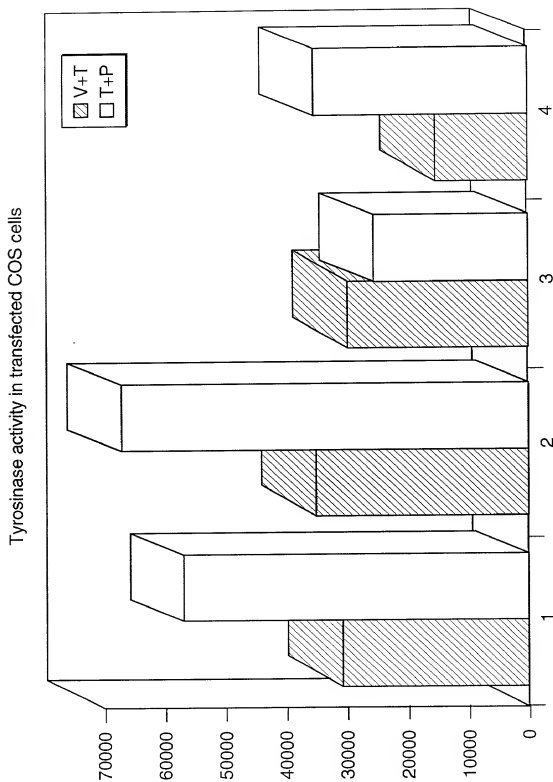


FIG. 4

FIG. 5A

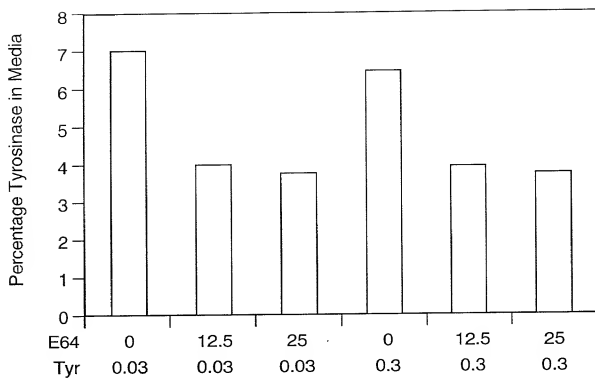
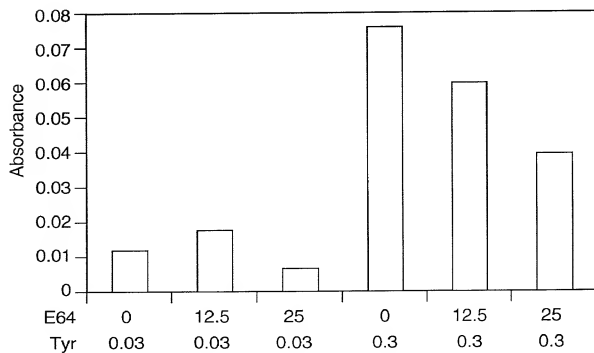


FIG. 5B



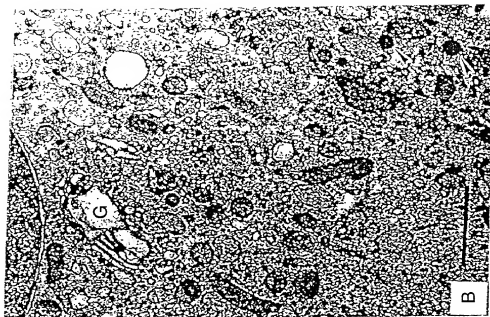


FIG. 6B



FIG. 6A

09827422.071901

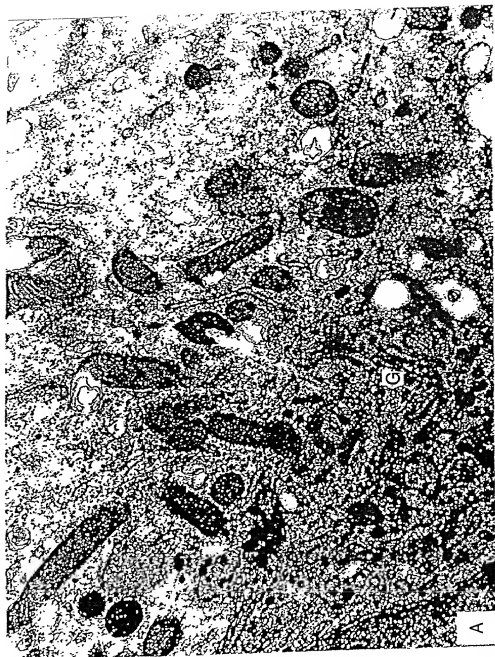


FIG. 7A

106170\* 824/2850

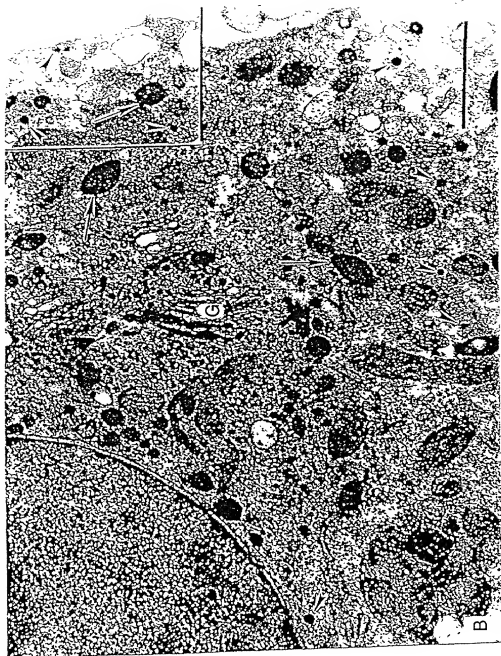


FIG. 7B



FIG. 8A

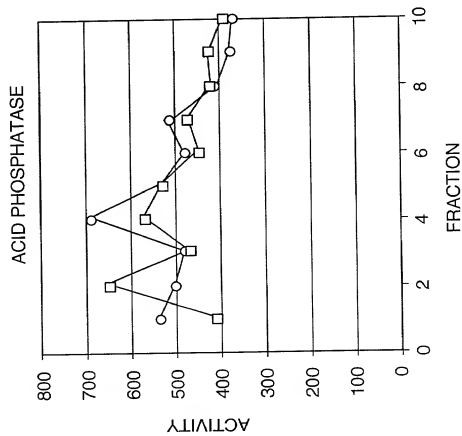


FIG. 8B

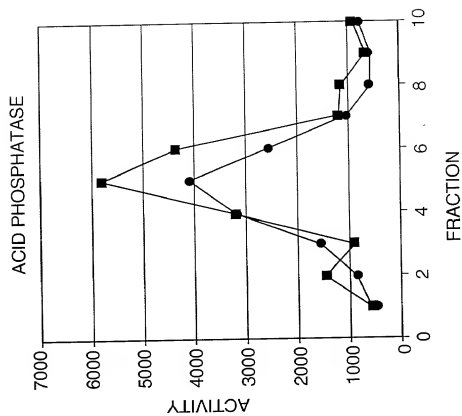


FIG. 9A

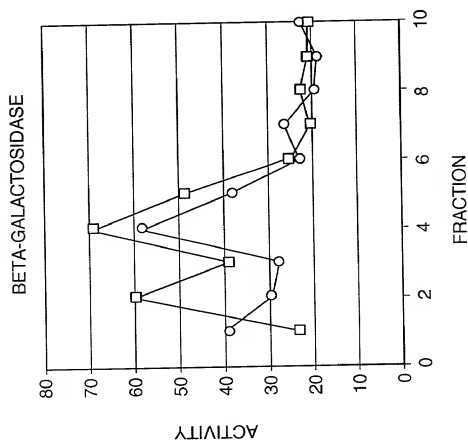
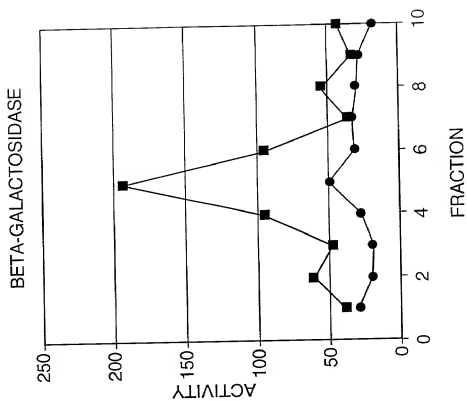


FIG. 9B



11/19

FIG. 10A

BETA-HEXOSAMINIDASE

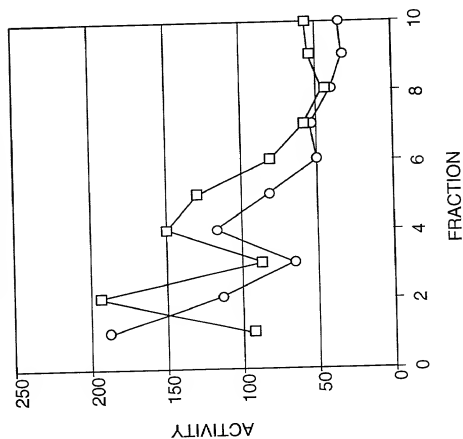
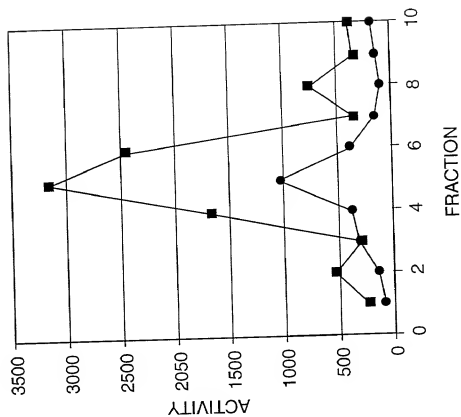


FIG. 10B

BETA-HEXOSAMINIDASE



12/19

FIG. 11A  
BETA-GLUCOSIDASE

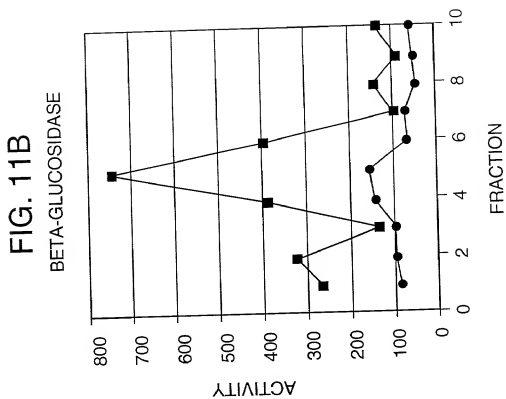
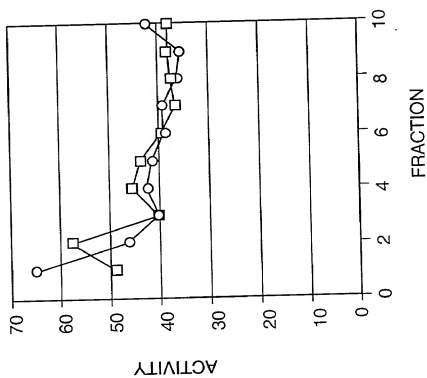


FIG. 12A

BETA-GLUCURONIDASE

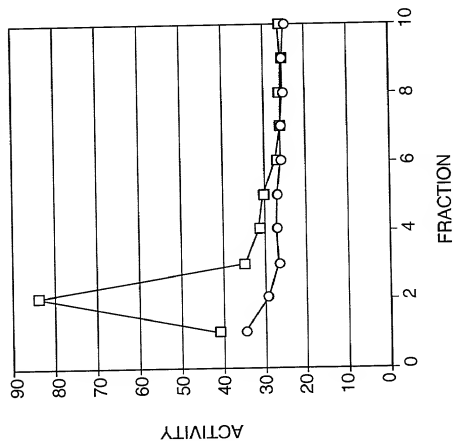
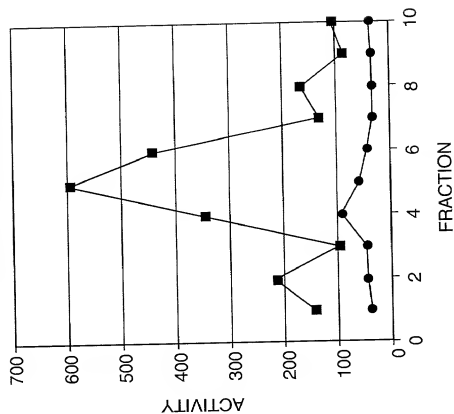


FIG. 12B

BETA-GLUCURONIDASE



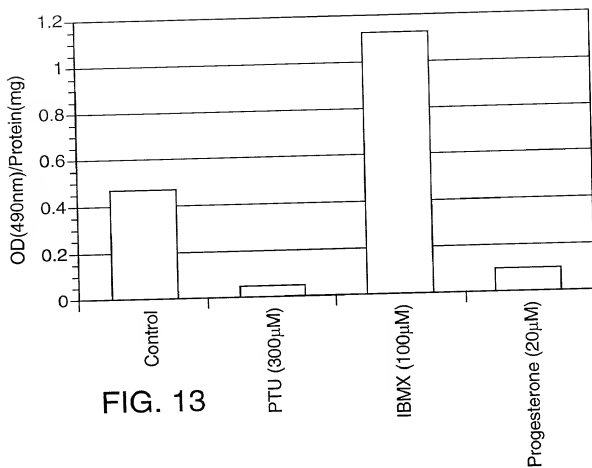


FIG. 13

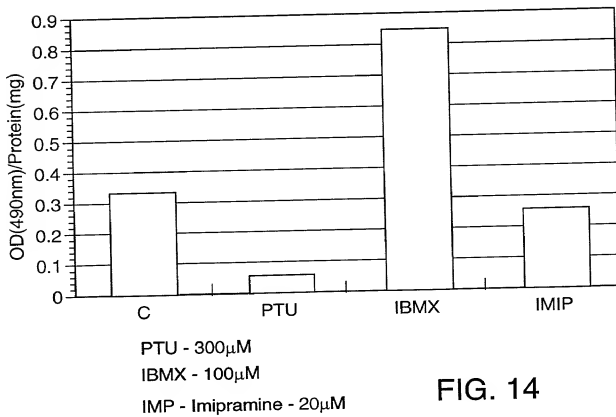


FIG. 14

15/19

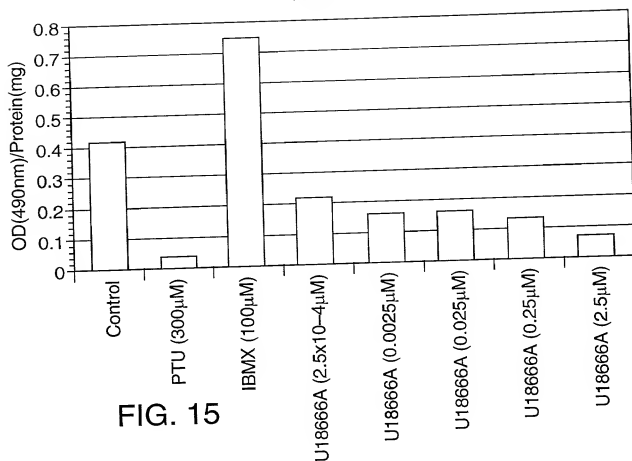


FIG. 15

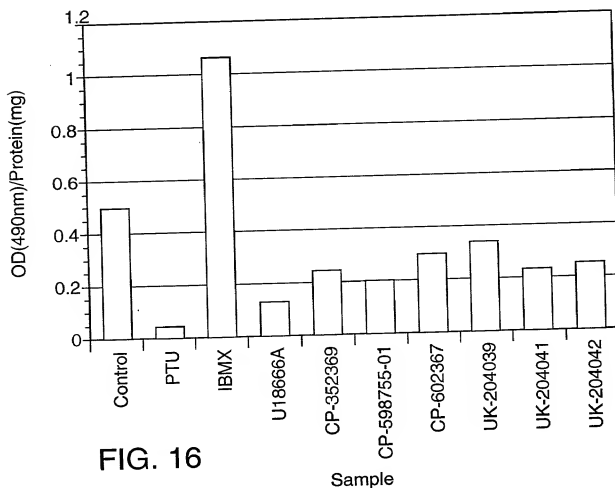


FIG. 16

Sample

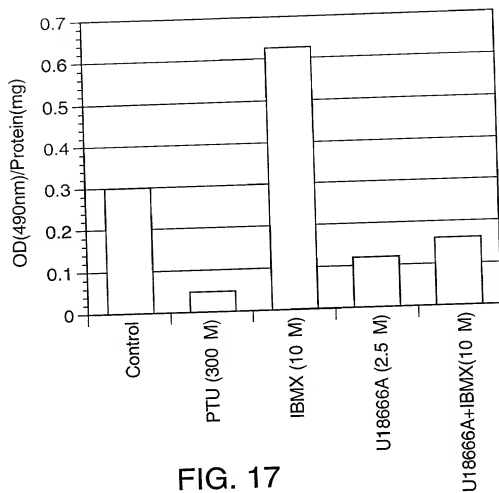


FIG. 17

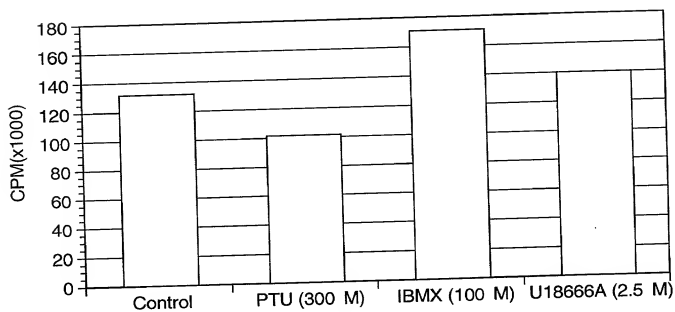


FIG. 18



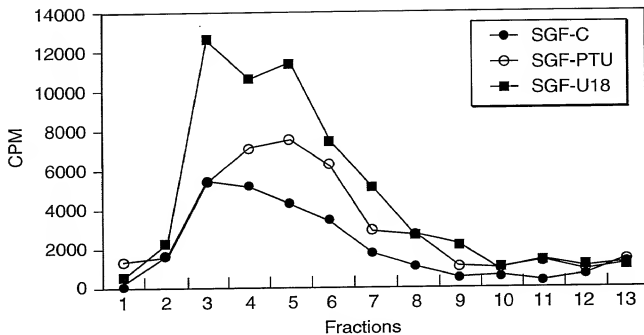


FIG. 19

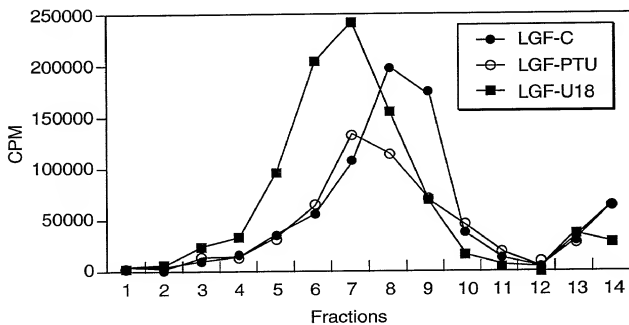


FIG. 20

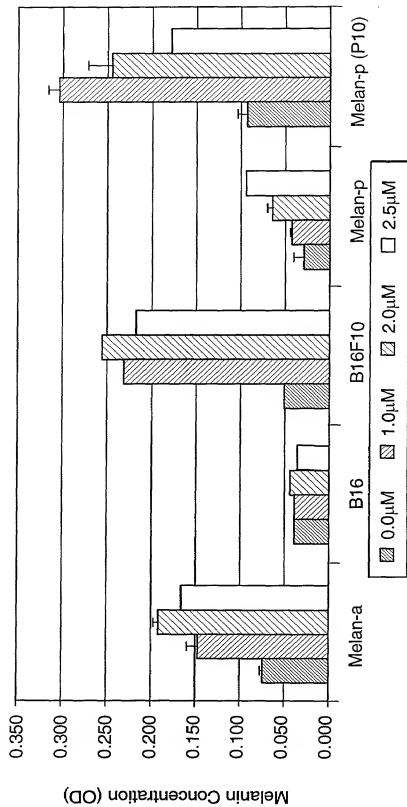


FIG. 21

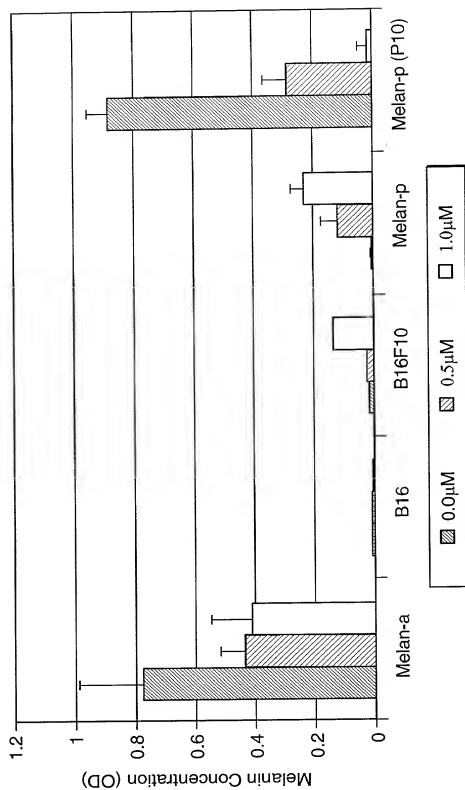


FIG. 22